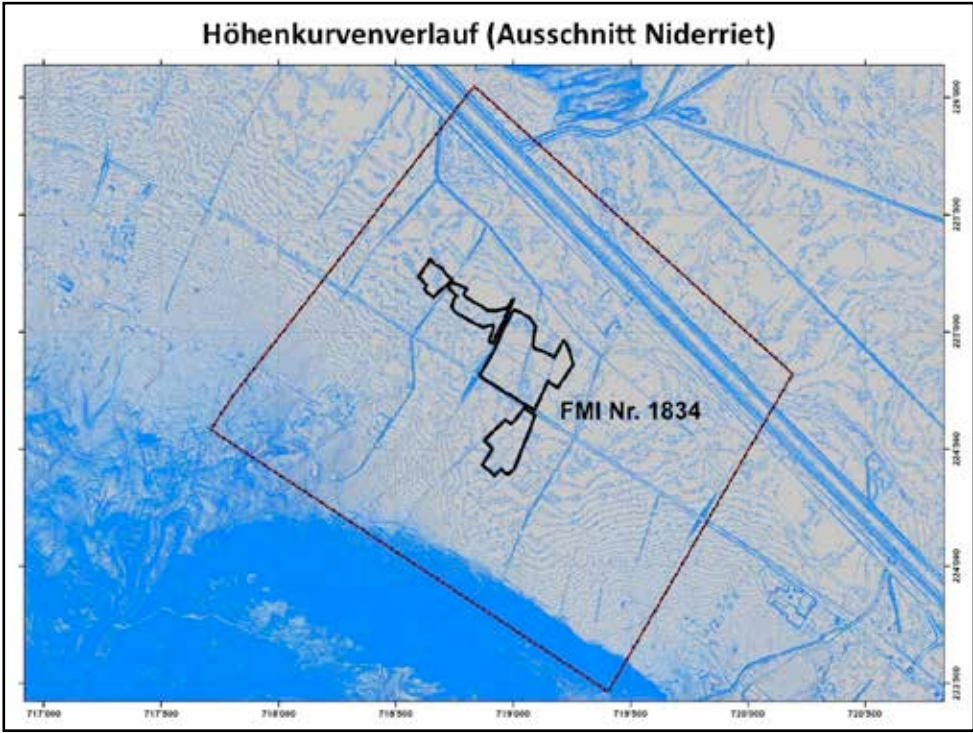


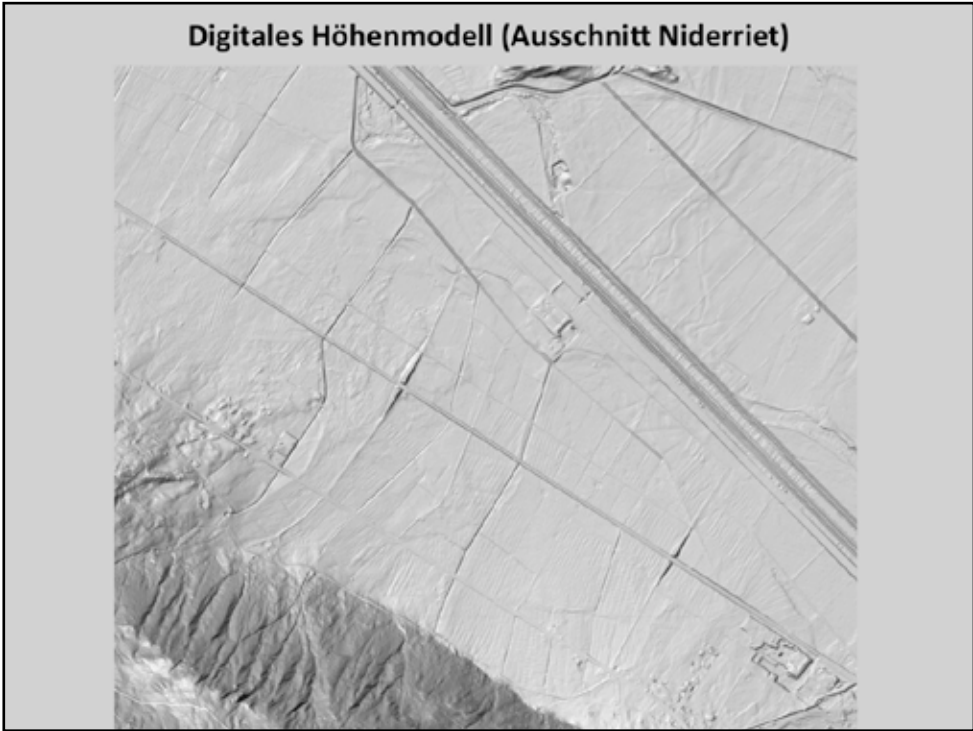
**Niderriet**  
Glarus Nord (GL)  
FMI Nr. 1834

Dokumentation zusammengestellt von  
Andreas Grünig und Jonas Winizki  
Agroscope Reckenholz-Tänikon (ART)

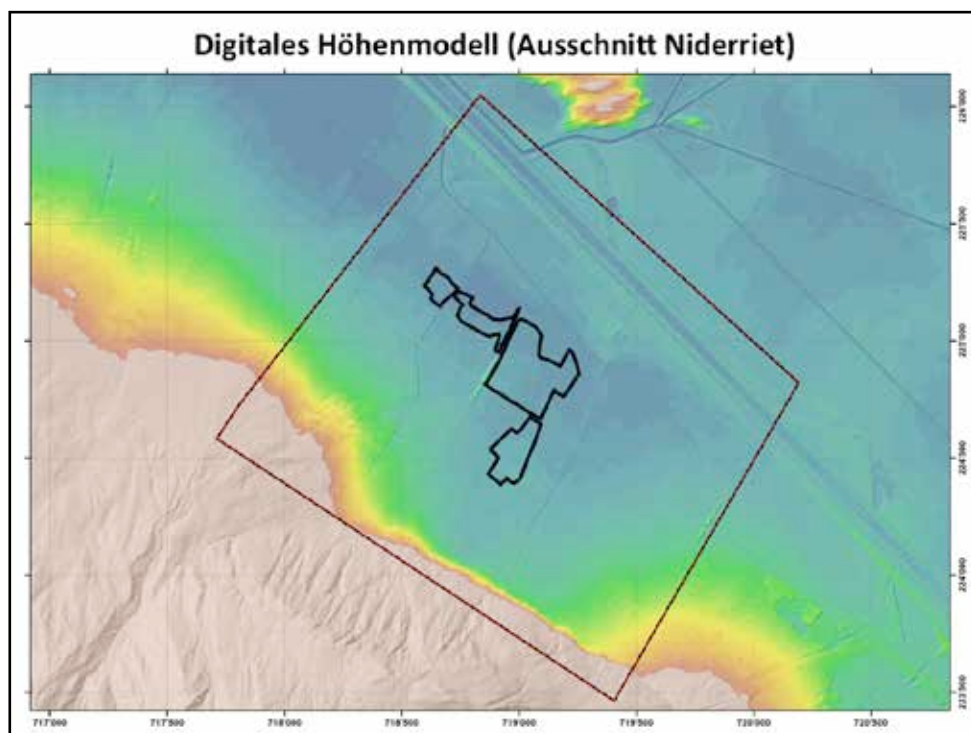
CH-8046 Zürich



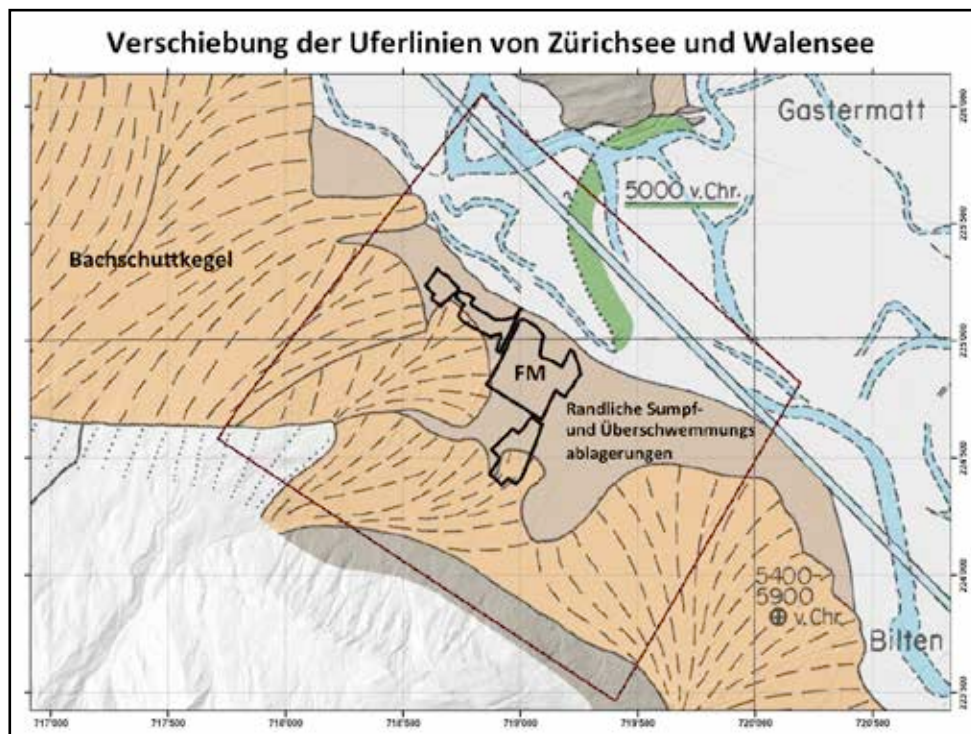
DHM-AV ©swisstopo



©Peter Zopfi, GL

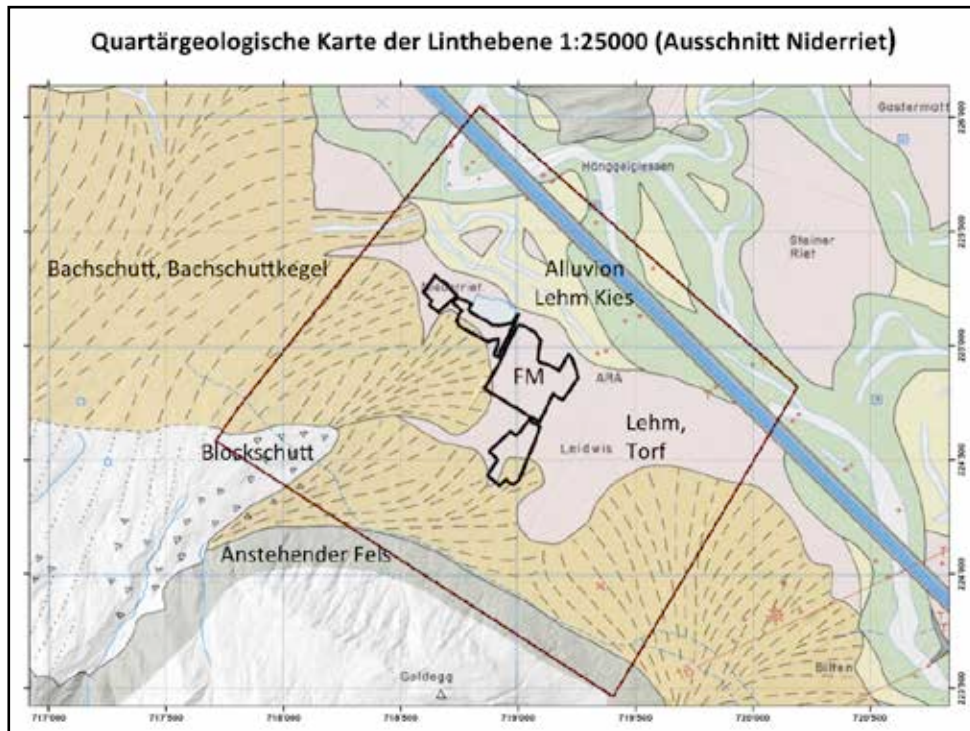


DHM-AV ©swisstopo



PK25 1133 Linthebene ©swisstopo.

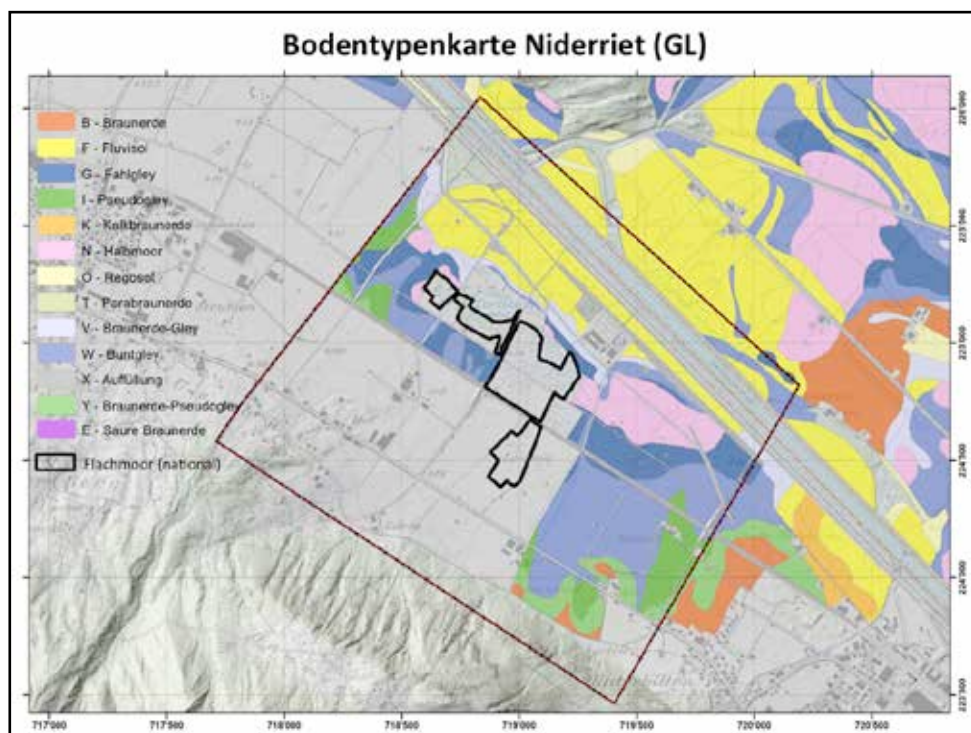
©Schindler, C., 2004: Zum Quartär des Linthgebiets zwischen Luchsingen, dem Walensee und dem Zürcher Obersee. Beiträge zur Geologischen Karte der Schweiz. Lieferung 169 (N. F.). Textband mit 159 Seiten, 54 Textfiguren und 4 Tabellen. Ausschnitt aus Fig. 43: Verschiebung der Uferlinien von Zürichsee und Walensee; Ausdehnung des Tuggener Sees um 1450 n. Chr. Diese Angaben sind nur als grobe Annäherung zu bewerten. (Altersangaben: s. Kap. 3.4.3, Teil B).



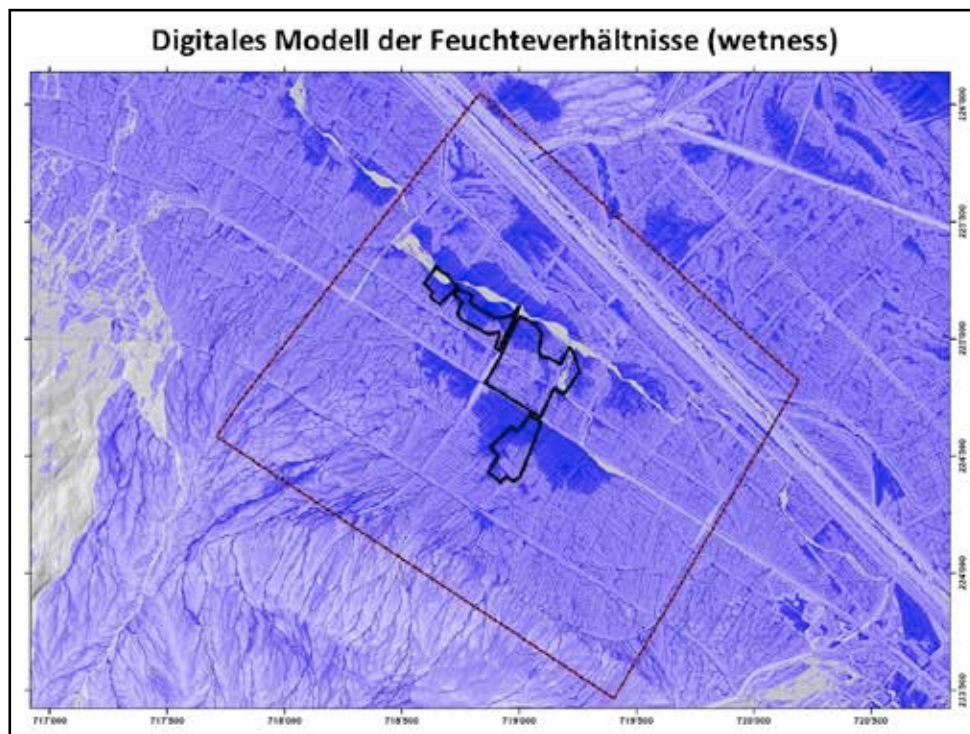
PK25 1133 Linthebene ©swisstopo.

©Schindler, C., 2004: Zum Quartär des Linthgebiets zwischen Luchsingen, dem Walensee und dem Zürcher Obersee. Beiträge zur Geologischen Karte der Schweiz. Lieferung 169 (N. F.).

Ausschnitt aus Karte 1: Quartärgeologische Karte der Linthebene 1:25000. Profiltafeln und Karten.



PK25 (2009) ©swisstopo (DV012446); Übersichtsplan ©Kanton Glarus  
 Bodenkartierung Kanton Glarus: © 2009 Kanton Glarus, Departement Volkswirtschaft  
 und Inneres, Landwirtschaft sowie ART (Kt SG).



DHM-AV ©swisstopo; GIS-Analyse ©WSL, Klaus Ecker. Das Modell stellt den CTI (Compound Topographic Index) dar. Für die Berechnung wurden alle Senken im Terrainmodell als Messfehler behandelt und vor der eigentlichen Abflussberechnung künstlich aufgefüllt.

CTI is a steady state wetness index. The CTI is a function of both the slope and the upstream contributing area per unit width orthogonal to the flow direction. CTI was designed for hillslope catenas. Accumulation numbers in flat areas will be very large and CTI will not be a relevant variable. CTI is highly correlated with several soil attributes such as horizon depth ( $r=0.55$ ), silt percentage ( $r=0.61$ ), organic matter content ( $r=0.57$ ), and phosphorus ( $r=0.53$ ) (Moore et al. 1993).

The implementation of CTI can be shown as:  $CTI = \ln (A_s / (\tan(\beta)))$  where  $A_s$  = Area Value calculated as  $(\text{flow accumulation} + 1) * (\text{pixel area m}^2)$  and  $\beta$  is the slope expressed in radians.

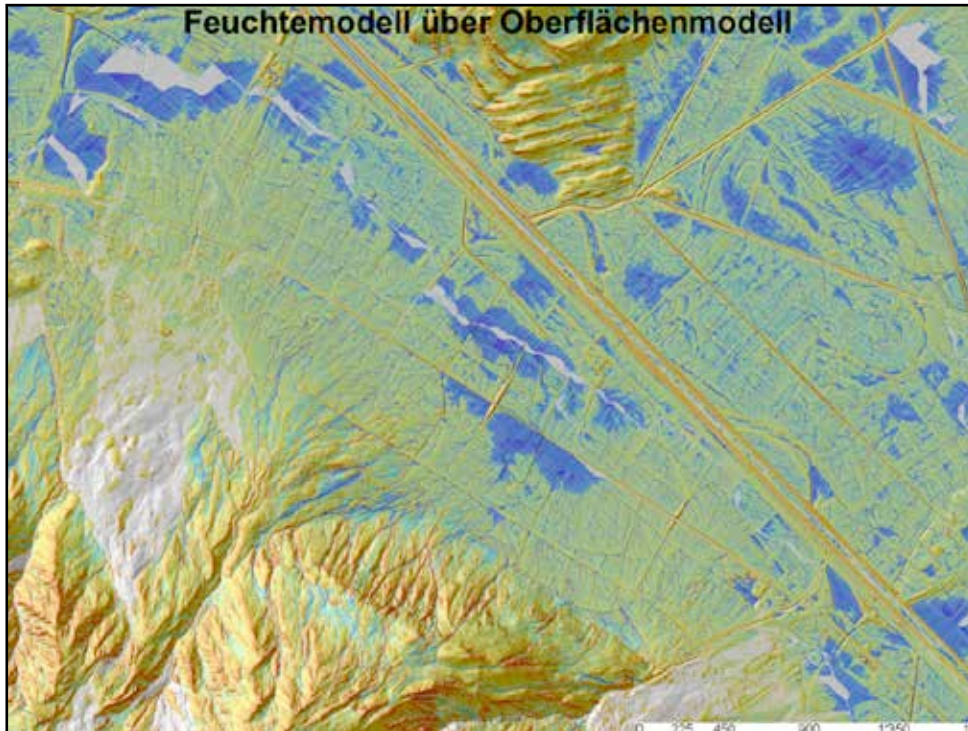
References:

Gessler, P.E., I.D. Moore, N.J. McKenzie, and P.J. Ryan. 1995: Soil-landscape modeling and spatial prediction of soil attributes.

International Journal of GIS. Vol 9, No 4, 421-432.

Moore, I.D., Gessler, P.E., Nielsen, G.A., and Petersen, G.A. 1993: Terrain attributes: estimation methods and scale effects.

In Modeling Change in Environmental Systems, edited by A.J. Jakeman. M.B. Beck and M. McAleer (London: Wiley), pp. 189 - 214.



DHM-AV ©swisstopo; GIS-Analyse ©WSL, Klaus Ecker. Das Modell stellt den CTI (Compound Topographic Index) dar. Für die Berechnung wurden alle Senken im Terrainmodell als Messfehler behandelt und vor der eigentlichen Abflussberechnung künstlich aufgefüllt.



